

AE 波動の波形解析と発生機構について

京都大学工学部 正員 丹羽義次
 熊本大学工学部 正員 大津政廉
 川崎製鉄 正員 ○植野良二

1. はじめに

アコースティック・エミッション (AE) とは、材料の破壊に伴って発生伝播する弾性波の総称である。本報告では、AEの発生機構の解明を目的として、AE波動を弾性体内部における転位より発生する弾性波動と考えた。そして、コンクリート材料の引張破壊試験を行なって検出したAE波形に逆合成を施し、時間領域と周波数領域との解析よりAE発生源での転位間数の決定を試みた。

2. 実験概要

供試体の配合をTable 1に示す。AE計測装置のブロックダイヤグラムをFig. 1に示す。この装置で周波数帯を10 kHz～300 kHz,

Table 1 配合

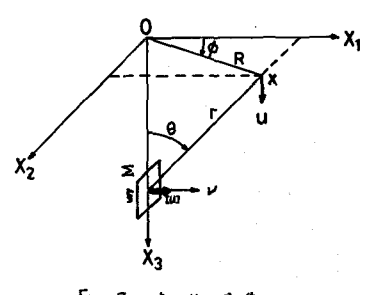
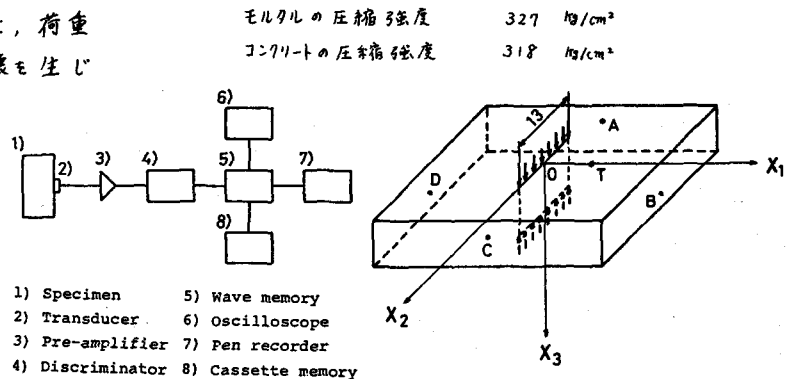
	Maximum gravel size (mm)	C (kg/m³)	W (kg/m³)	V/C (%)	s/a (%)	S (kg/m³)	G (kg/m³)
Mortar	-	595	357	0.6	-	1190	-
Concrete	10	313	197	0.63	34	626	1252

増幅度を60 dBに設定した。実験は、Fig. 2に示すように半無限弾性体のモデルとして30 cm × 30 cm × 6 cm の供試体を用いて、その中央部に長さ13 cm の線荷重を作成させ、荷重が作用する面内で引張破壊を生じさせた。そして、点Tに設置した変換子905Sで発生するAEを検出し、同時に供試体側面の4点A, B, C, Dに設置した変換子900BAで破壊源探査を行なった。

3. 解析手法

解析においては、Knopoff-de Hoop の表示定理により転位を表わし、実験ではFig. 3に示すような引張りクラックが発生すると考えた。数値計算は Johnson の式によった。また、変換子905Sは x_3 方向の加速度を検出すると考えられることより、引張りクラックによって発生する弾性波動は次式で表わされる。

$$\ddot{u}_3(x, t) = \int_{-\infty}^{\infty} T_{31}^H(x, t-t'; x_0) \frac{\partial}{\partial t} [\ddot{u}_1(x_0, t')] dt' \dots \dots (1)$$



ここで、 $T_{31}^H = (\lambda + 2M) G_{31,1}^H + \lambda G_{32,2}^H + \lambda G_{33,3}^H$ で、 G_i^H はグリーン関数、転位関数 $[U_i(t)]$ は Fig. 4 に示すように滑らかな関数であると仮定した。そして、(1)式より解析波形を求めた。P波速度は、コンクリート：4400 m/sec, モルタル：3900 m/sec であった。次に、検出波形より $[\ddot{U}_i(t)]$ を求めた。周波数領域での逆合積は、次のようになる。

$$DU(f) = DT(f)/FT(f) \cdots \cdots (2)$$

ここに、 $DU(f)$, $FT(f)$, $FT(f)$ は、それぞれ、 $\ddot{U}_i(t)$, $T_{31}^H(t)$, $\ddot{U}_i(t)$ のフーリエ変換である。(2)式より $[\ddot{U}_i(t)]$ とそのフーリエ・スペクトルを求め、仮定関数の $[\ddot{U}_i(t)]$ とそのフーリエ・スペクトルと比較した。なお、 $[U_i(t)]$ の立ち上り時間下限は、 $[\ddot{U}_i(t)]$ が一致するように決定した。

4. 実験結果および考察

Fig. 5 a) に検出波形、b) に解析波形の例を示す。破壊源は Fig. 2 の座標系で $(-0.4, 0.2, 5.1)$ (cm) で、 $T_r = 9 \mu\text{sec}$ と仮定した。検出波形では波動の途中で振幅が飽和しているが、前半部は類似している。Fig. 6 に逆合積により求めた $[\ddot{U}_i(t)]$ を示す。実線が逆合積結果、破線が仮定関数を表わす。以下の図も同様である。図より、両者はよく一致していることがわかる。

Fig. 7 に $[\ddot{U}_i(t)]$ のフーリエ・スペクトルを示す。a) の逆合積結果のスペクトルには、約 20 kHz にピークがある。20 kHz に対する波長は 50 μsec であり、これはデータの全観察時間に対応する。したがって、このピークはデータの有限長さの影響と考えられるので、このピークを除き、ハニングウインドウをかけた。b) にそのスペクトルを示す。両者ともにピークは約 120 kHz にあり、波長 9 μsec に対応する。これは、 $[\ddot{U}_i(t)]$ を求めた際の $T_r = 9 \mu\text{sec}$ とも一致する。そして、

Fig. 6 の $[\ddot{U}_i(t)]$ を下時間まで 2 回積分して求めた転位関数 $[U_i(t)]$ を Fig. 8 に示す。以上の結果より、時間領域と周波数領域での解析より、転位関数を決定する可能性が示されたと考えられる。その他の結果、詳細については、当日発表する。

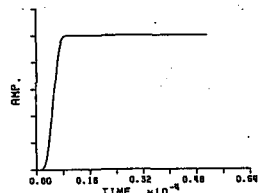


Fig. 4 仮定した転位関数

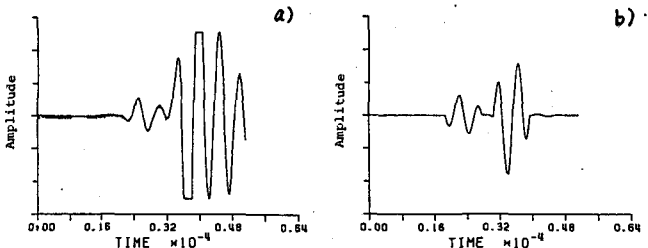


Fig. 5 a) 検出波形 & b) 解析波形

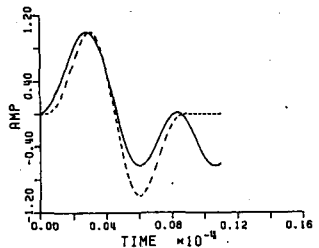


Fig. 6 逆合積により求めた $[\ddot{U}_i(t)]$

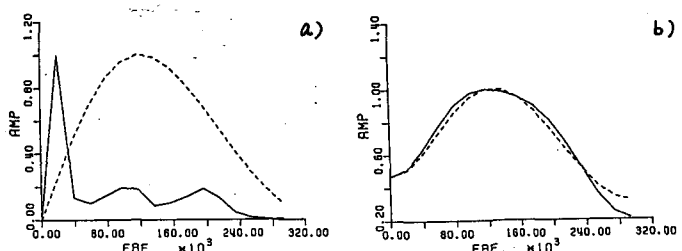


Fig. 7 フーリエ・スペクトル

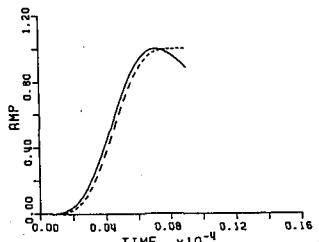


Fig. 8 転位関数

参考文献

- 1) Burridge, R. and Knopoff; Body force equivalents for seismic dislocation, Bull. Seism. Soc. Am., 54, 1875, 1964
- 2) Johnson, L.R.; Green's function for Lamb's Problem, Geophys. J. R. astr. Soc., 37, 99-131, 1974
- 3) 丹羽, 大津, 塩見; 昭和56年度関西支部講演概要 V-12